

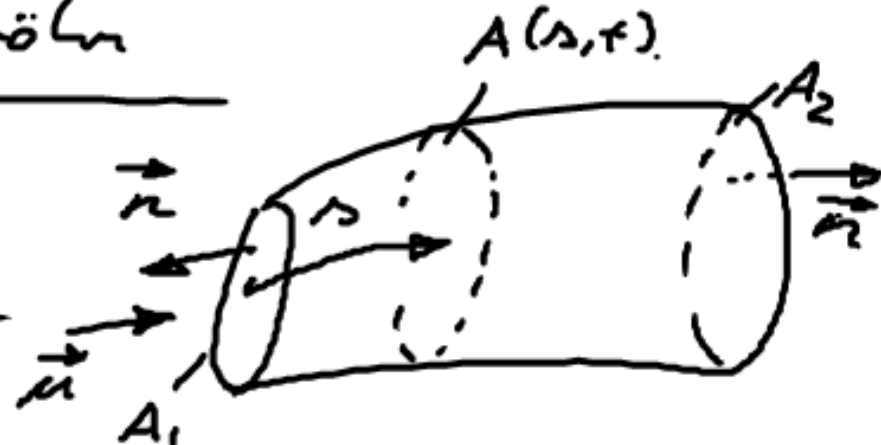


Geschwindigkeitsabhängigkeit:

Rheologie      Rettung, auch  
Kunststoff-Physik.

Kontinuitätsgleichung für eine Stromröhre

$$\int_0^L \frac{\partial}{\partial t} (sA) ds - m_1 + m_2 = 0$$



$$m_1 := - \int s \vec{u} \cdot \vec{n} d_s ; \quad m_2 := \int s \vec{u} \cdot \vec{n} d_s$$

$$= \frac{A_1}{\rho u_1} A_1$$

$$= \frac{A_2}{\rho u_2} A_2$$



Spezialisierte OD-Fall hydrostatisch  
Näherung

$$\neq f_n(\vec{x})$$

$$\int\limits_0^L \frac{\partial}{\partial t} (\rho A) dA - \dot{m}_1 + \dot{m}_2 = 0$$

$$\dot{m} = \rho Q \quad \text{Massestr.}$$

$$Q = \int_{V'} \text{Masse } \vec{n} \cdot \vec{n} dA \quad \text{Volumenstr.}$$

$\therefore K_{eff}$  effektiv Nachgiebigkeit

$$\frac{\partial}{\partial t} (\rho A) = \frac{\partial P}{\partial t} \frac{\partial}{\partial P} (\rho A) = \frac{\partial P}{\partial t} \underbrace{\frac{1}{\rho A} \frac{\partial}{\partial P} (\rho A)}_{=: K_{eff}} \rho A$$



$$\frac{dP}{dt} = \dot{P}$$
$$\int_0^L \frac{\partial P}{\partial t} \chi_{\text{eff}} S A ds - \dot{s}_1 Q_1 + \dot{s}_2 Q_2 = 0$$

Diagram showing a control volume (CV) from 0 to L. The area under the pressure-time curve is labeled  $\partial V$ .

OD-Annahme, d.h. kein Ablen.

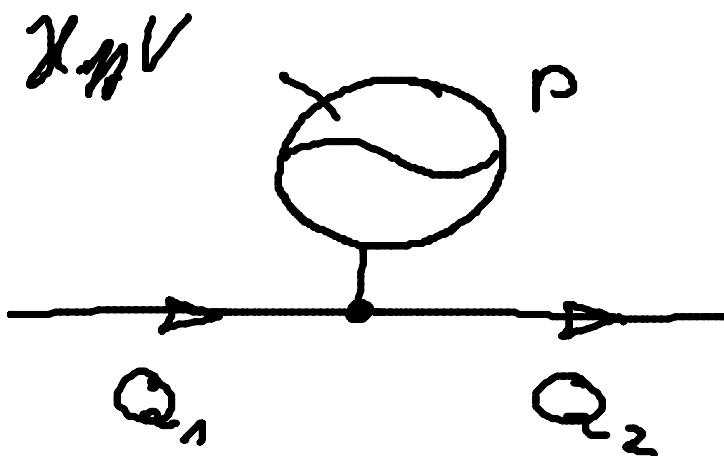
$$\text{zu } \Delta s = \dot{s}_1 = \dot{s}_2$$

$$\dot{P} \chi_{\text{eff}} V - Q_1 + Q_2 = 0$$

Drehanzhangsgleich.

$$\chi_{\text{eff}} V = C \text{ hydraulisch Kapazität}$$





hydraulische Leistung

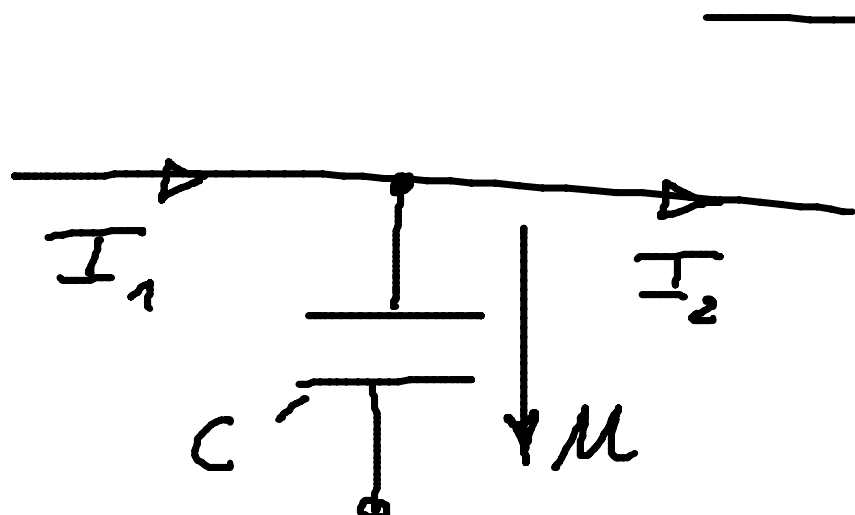


TECHNISCHE  
UNIVERSITÄT  
DARMSTADT



Grundlagen der  
Turbomaschinen und  
Fluidsysteme

$$\chi_{ff} V \dot{P} = Q_1 - Q_2$$



elektrische Leistung.

$$G'm = I_1 - I_2$$

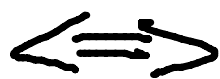
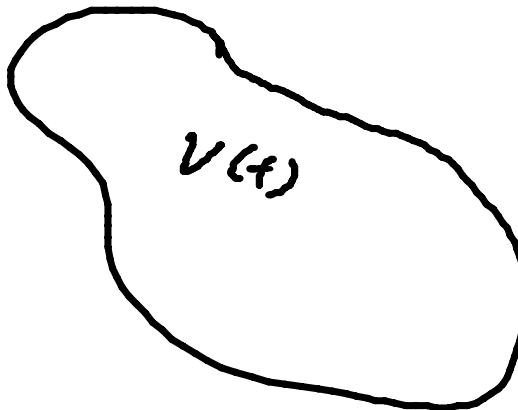


<u>Analogie</u>	Elektrotechnik	Hydraulik
Potenzial	$U$ Spann.	$p$ Druck
Flußgröße	$I := \int \vec{z} \cdot \vec{n} d\sigma$	$Q := \int \vec{u} \cdot \vec{n} d\sigma$
Koppeleffekt	$i \zeta = I_1 - I_2$	$\dot{\rho} x_{pp} V = Q_1 - Q_2$
Induktivität	sich. verl. Verh.	
Übersicht		



Zusammenfassung

$$\frac{Dm}{Dt} = \frac{D}{Dt} \int_V s dV \stackrel{!}{=} 0$$



$$\frac{\partial}{\partial t} \int_V s dV + \oint \vec{s} \vec{u} \cdot \hat{n} dA \stackrel{!}{=} 0.$$

3D

$$\frac{Ds}{Dt} + s \operatorname{div} \vec{u} = 0$$



$$\int_C \frac{\partial}{\partial t} (s_A) dA - \dot{m}_1 + \dot{m}_2$$



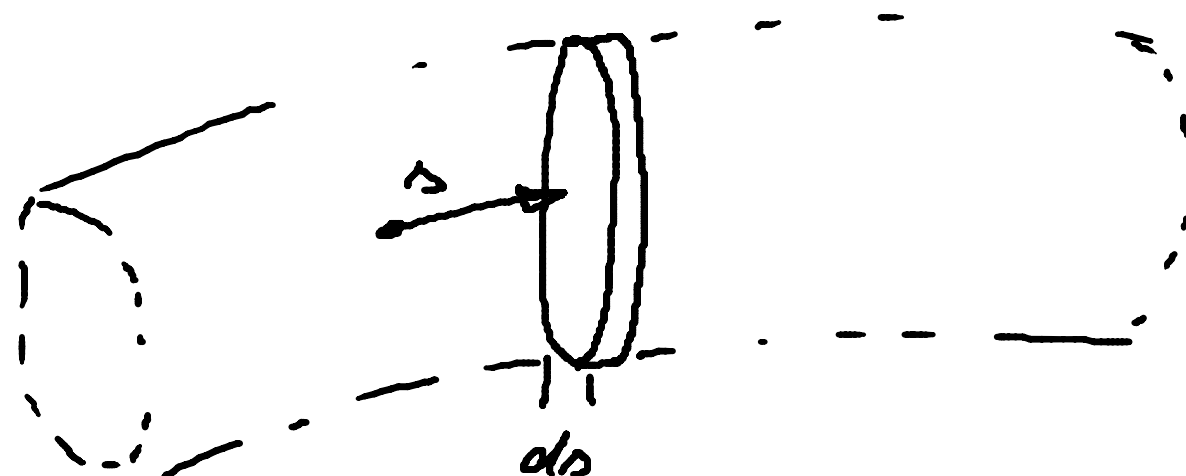
$$H_{ref} V \dot{P} - Q_1 + Q_2 = 0$$

1D



Kontigleich für den 1D-Fall  $\rho(s, t), T(s, t), \dots$

Ausgangspunkt: Kontigleich für eine  
Stromröhre der längs des.



$$\bar{u} := \frac{1}{A} \int u \, dA \quad \text{flächengem. Mittl. Geschwindigkeit.}$$



$$\int_0^L \frac{\partial}{\partial t} (\rho A) ds - \underbrace{\rho_1 \bar{u}_1 A_1 + \rho_2 \bar{u}_2 A_2}_{\text{mass flow}} = 0$$

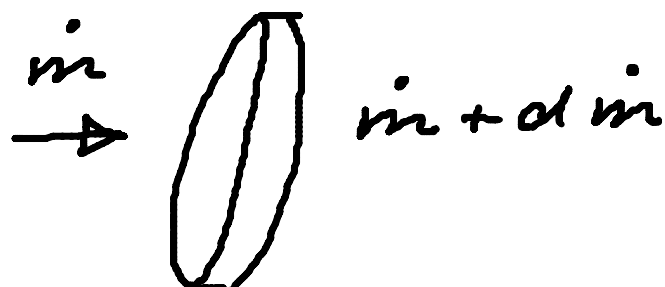
Für  $L \rightarrow ds$



$$\frac{\partial}{\partial t} (\rho A) ds + \cancel{dL(\rho \bar{u} A)} = 0$$

$$d\dot{m}_i = \frac{\partial \dot{m}}{\partial s} ds$$

kein Zeitglied im linken Ausdruck Transportth.



$$\frac{\partial}{\partial t} (\rho A) ds + \frac{\partial \dot{m}_i}{\partial s} ds = 0$$



$$\frac{\partial}{\partial t} (\varsigma A) + \frac{\partial}{\partial s} (\bar{u} \varsigma A) = 0$$

$$\underbrace{\frac{\partial}{\partial t} (\varsigma A) + \bar{u} \frac{\partial}{\partial s} (\varsigma A)}_{\text{Dashed line}} + \varsigma A \frac{\partial \bar{u}}{\partial s} = 0$$

$$\frac{D}{Dt} = \frac{\partial}{\partial t} + \bar{u} \frac{\partial}{\partial s}$$

$$\frac{1}{\varsigma A} \frac{D \varsigma A}{Dt} + \frac{\partial \bar{u}}{\partial s} = 0.$$

$$\frac{1}{\varsigma A} \frac{\partial \varsigma A}{\partial p} \frac{D p}{Dt} + \frac{\partial \bar{u}}{\partial s}$$



$$\chi_{eff} \frac{dp}{de} + \frac{\partial \bar{u}}{\partial s} = 0$$

$$\chi_{eff} := \frac{1}{SA} \frac{d SA}{dp}$$

effektive Nachgiebigkeit.

$$a_{eff}^2 := \frac{1}{\rho \chi_{eff}}$$

a<sub>eff</sub> effektive Signalausbreitungsschn.  
Schallgeschwindigk.

$\chi_{eff}$  ist ein effektiver Dichte  
insbes. bei Mehrphasenstr.



$$\frac{1}{S_{\text{eff}} \alpha_{\text{eff}}} \frac{DP}{Dt} + \alpha_{\text{eff}} \frac{\partial \bar{u}}{\partial s} = 0$$

Kontinuität für den 1D-Fall.

$\alpha_{\text{eff}} S_{\text{eff}} = Z_{\text{eff}}$  effektiv shearende Temperatur.

Ausbild. Turbulenz für ein Sch. S.

$$\frac{D\bar{u}}{Dt} + \frac{1}{S_{\text{eff}}} \frac{\partial P}{\partial s} = k_{\text{eff}}$$

zwe. gekoppelte  
partiell, nichtlin.   
Differenziald.  
→ Riemann:  
Charakteristikenmethode.

(?)  $P, \bar{u} = ?$

~~$\bar{u} \frac{\partial P}{\partial s}$~~

~~$\bar{u} \frac{\partial \bar{u}}{\partial s}$~~

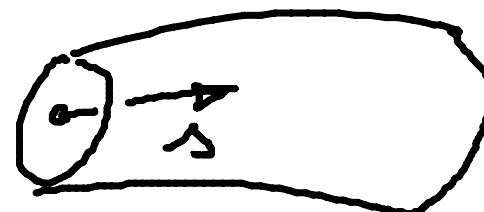


Wellenlängsd.



## Zusammenfassung

$$\int \frac{\partial}{\partial t} (\rho A) dA - \dot{m}_1 + \dot{m}_2 = 0$$



OD

$$\dot{p} \cdot K_{eff} V - Q_1 + Q_2 = 0$$

$$\alpha_{eff} := \frac{1}{S_{eff} \cdot \rho_{eff}}$$

1D

$$\frac{1}{S_{eff} \alpha_{eff}} \frac{Dp}{Dt} + \alpha_{eff} \frac{\bar{du}}{\bar{ds}} = 0$$

Zur effektiven Nachgiebigkeit und  
zur effektiven Schallgeschwindigkeit.



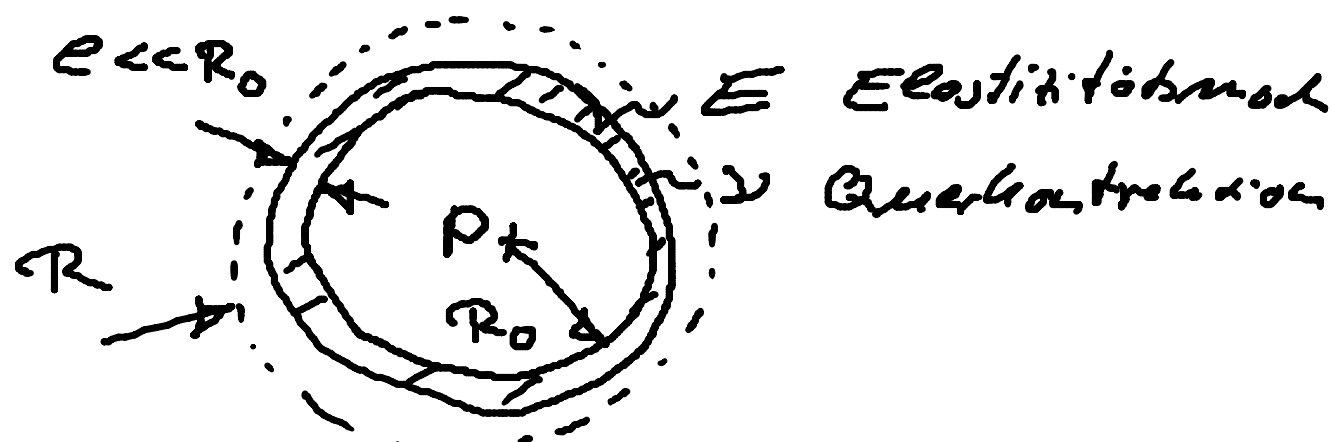
TECHNISCHE  
UNIVERSITÄT  
DARMSTADT

FLUID  
SYSTEM  
TECHNIK

Grundlagen der  
Turbomaschinen und  
Fluidsysteme

Ein ideal steif System  $K_E \rightarrow \infty$   
zeigt eine unendlich große Schallgeschwindigkeit  
 $a_E \rightarrow \infty$ .

Z.B.: Nachgiebigkeit einer Rohrleitung für dünnen Winkel  
 $\epsilon \ll R_o$ .





$$\chi_{\text{eff}} := \frac{1}{sA} \frac{\partial sA}{\partial p}$$

$$= \frac{1}{sA} \left( A \frac{\partial s}{\partial p} + s \frac{\partial A}{\partial p} \right)$$

$$= \underbrace{\frac{1}{s} \frac{\partial s}{\partial p}}_{\text{Nachgiebigkeit des Fluids}} + \underbrace{\frac{1}{A} \frac{\partial A}{\partial p}}_{\text{Nachgiebigkeit des Anstr.}}$$

Nachgiebigkeit  
des Fluids

$\chi_g$

Nachgiebigkeit  
des Anstr.

$\chi_A$

D.h. die Nachgiebigkeiten addieren sich



$$\chi_{\text{eff}} = \chi_g + \chi_A$$

Im Beispiel  $\chi_A := \frac{1}{A} \left. \frac{\partial A}{\partial p} \right|_0$

$$= \frac{1}{\pi R_0^2} \left. \frac{\partial \pi R^2}{\partial p} \right|_0$$

$$= \frac{1}{R_0^2} 2R_0 \left. \frac{\partial R}{\partial p} \right|_0$$

$$= 2 \left. \frac{1}{R_0} \frac{\partial R}{\partial p} \right|_0$$

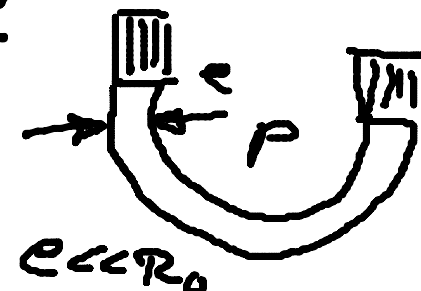


ändern des Radius mit der Druck  
für das maximale Radial.

### Kinematik

Dehnung in Umfangsrichtung

$$\varepsilon_y := \frac{2\pi R - 2\pi R_0}{2\pi R_0}$$



### Materialgesetz

Spannung in Umfangsrichtung

$$\sigma_y = E \varepsilon_y$$

### Gleichgewichtsbedingung

$$= E \frac{R - R_0}{R_0} = \rho \frac{R}{c}$$

$$\cancel{\cancel{\sigma_y = \rho R P}} \rightarrow \sigma_y = \rho \frac{R}{c}$$

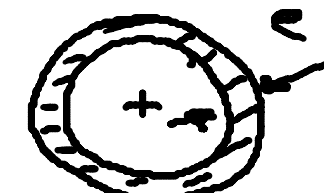
für  $c \ll R$



↳ Anfangsradien & dünnwandige Diffusor

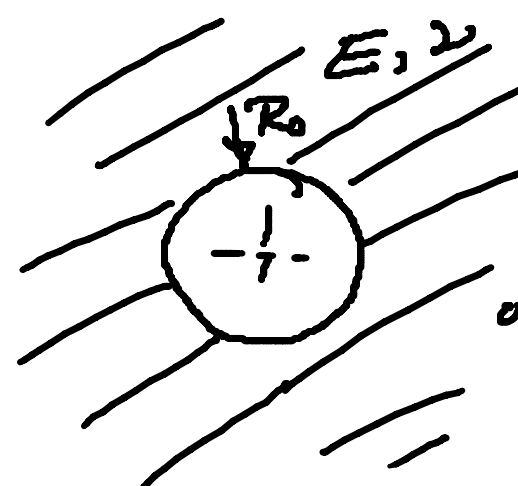
$$\chi_A = \frac{2}{\epsilon} \frac{R_o}{\epsilon} \quad \text{für} \quad \frac{R_o}{\epsilon} \gg 1$$

$\frac{R_o}{\epsilon} \gg 1$  dünnwandig Polär.



z. B.  
Brandschla. /  
z. B.  
Vane.

$\frac{R_o}{\epsilon} \ll 1$  Bohr.



z. B.  
Fallrohr im  
Fas.  
oder Bohr im Ventile

$$\chi_A = \frac{1}{\epsilon} f_L(\nu) \neq f_L(R_o)$$



Warum will der Polizist kein Rad  
bei einer Röhr?

- ↳ Folgt dem Dimensionsstrom.
- ↳ Dimensionalsanalyse.

$$x_{ff} = f_n(E, \nu, \cancel{T_0})$$

- ↳ Versuch später.



Nachweisgleichung der Flüssigkeits.  $\chi_g$

$$\chi_{eff} = \chi_g + \chi_A$$

Spezialfall für ein ideales Gas

$$P = s\sqrt{T} \quad (\text{thermisch ideales Gas})$$

R Gaskonstante.

Frei. innen Ener.  $e = c_v T$       Helowirk. ideales Gas

Endhalpt.  $h = c_p T$



$$\chi_{g,s} := \frac{1}{s} \left. \frac{\partial s}{\partial p} \right|_s$$

$$\chi_{g,T} := \frac{1}{s} \left. \frac{\partial s}{\partial p} \right|_T$$

bei Konstante

Enthalpie

$$p = s \gamma c$$

isentrope  
Zustandsänder.

$$\gamma := \frac{c_p}{c_v}$$

$$\chi_{g,s} = \frac{1}{\gamma p}$$

für „große“ (redu.)

$$\chi_{g,T} = \frac{1}{p}$$

für „kleine“ (redu.)